

大阪大学大学院
(株)春本鐵工

学生員 ○太田 博士
正 員 江頭 慶三

大阪大学大学院
大阪大学大学院

学生員 東山 浩士
フェロー 松井 繁之

1. はじめに 既設鋼橋を連結することで、走行性の問題および振動や騒音、鋼部材の腐食の問題の解消が計られてきた。本研究では、主桁連結工法を用ることを基本にし、さらに床版の目地も設げず床版も連結し、連続合成桁としての働きを期待し、外ケーブルによりプレストレスを導入する第3世代の鋼桁・床版連結工法について行うものである。これによって、中間支点付近の負の曲げモーメントによるひび割れも抑制できるか否かをプレキャストRC床版を用いた模型桁を使用し検討した。

2. 試験体と実験方法

試験体は、支間長30m、床版支間3m、最小床版厚23cmの2径間3主桁を約1/4に縮小した模型桁で、支間長5.25m、床版支間70cm、床版厚6.5cmである。そのうち製作したのは、モデル橋に活荷重載荷時に負の曲げモーメントが発生する範囲のみである。試験体概要図を図-1に示す。試験体は合計7種で、それらの区分表を表-1に示す。添接板とプレストレスが変数である。鋼桁は一組であるが、中央床版のみ載荷毎に取り替えた。載荷試験は、試験体の端部を油圧ジャッキにより押し下げるによって、活荷重載荷時と同じ曲げモーメントを試験体に発生させた。

3. 実験結果

3.1 プレストレス分布 試験体28M-20の中央床版の床版支間中央橋軸方向プレストレス分布を梁理論値とともに図-2に示す。実験値は多少のばらつきはあるが、床版上下面ともに計算どおりにプレストレスが導入されていることが分かる。

3.2 ひずみ挙動 モーメントプレート+シアープレート方式の床版支間中央の配力鉄筋の荷重-ひずみ曲線を図-3に示す。プレストレスの導入によって、非線形挙動を遅らせていることが分かる。また、モーメントプレートが12mmの試験体では、非線形性を示した後、ひずみが急激に大きくなるが、28mmの試験体では、急激な増加は現れなかった。これは、12mmの試験体では、添接板の剛性が弱く、ひび割れ後、桁尻間の局部変形が急激に進んだためである。試験体28S-0と28S-30について、

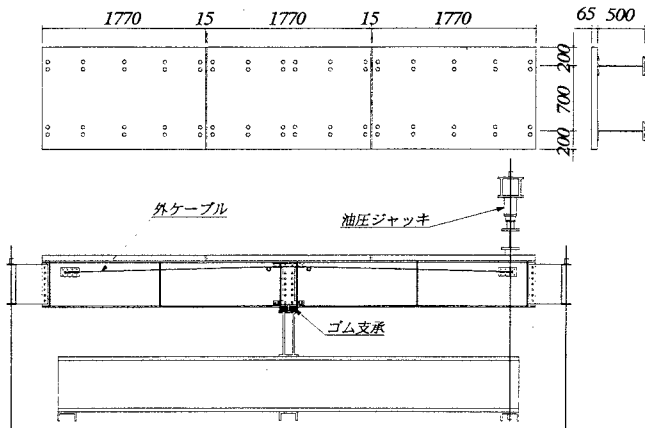


図-1 試験体概要図

表-1 試験体区分表

試験体名	床版への プレストレス量 (kgf/cm ²)	モーメントプレートの厚さ (mm)	連結方式
28M-0	0	28	モーメントプレート + シアープレート方式
12M-0	0	12	モーメントプレート + シアープレート方式
28S-0	0	28	シアープレート方式
28M-15	16.5	28	モーメントプレート + シアープレート方式
28M-20	22.0	28	モーメントプレート + シアープレート方式
12M-30	29.4	12	モーメントプレート + シアープレート方式
28S-30	29.4	28	シアープレート方式

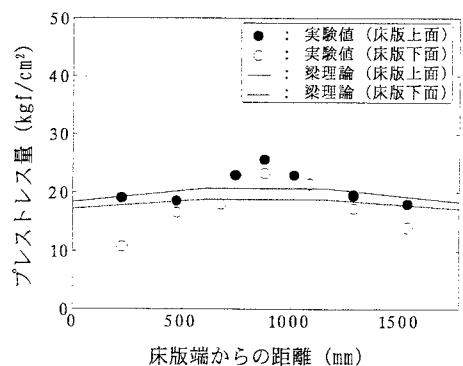


図-2 床版支間中央プレストレス分布

添接板中央断面の橋軸直角方向配力鉄筋のひずみ分布を、FEM 解析値とともに図-4 に示す。載荷荷重は、試験体においてひび割れが発生していない 2 トンである。試験体 28S-0 において、主桁上で配力鉄筋のひずみが大きくなっていることが分かる。これは、桁尻間の局部変形が大きいことが原因と思われる。しかし、プレストレスを導入することによって、ひずみが大きく低減され、FEM 解析値に近くなっていることが分かる。これにより、プレストレスによって、桁尻間の局部変形が抑えられることが確認された。

3.3 桁の応力分布 試験体 28M-0 と 12M-0 の添接板中央断面の応力分布を梁理論値、FEM 解析値とともに図-5 に示す。載荷荷重は、ひび割れ発生前の 2 トンである。実験値は、梁理論値とはあまりあっていないが、FEM 解析値とは一致していることが分かる。また、添接板部においては、上下のモーメントプレートで力を受けて、シアープレートでは、力を分担していないことが確認された。

3.4 ひび割れ状況 載荷終了時のひび割れ状況は、試験体に関係なくひび割れ本数は同じであった。また、ひび割れ間隔は、主鉄筋間隔の約 3 倍で、試験体による違いは見られなかった。また、すべての試験体において、ひび割れは添接板中央からではなく、支承上から発生していた。また、すべてのひび割れは、主鉄筋の上から発生していた。

4.まとめ プレストレスは、ほぼ計算通りに導入されたことが確認できた。プレストレスを導入することにより、桁尻間に起る局部変形を抑制できること、ひび割れ発生を遅くすることができることがわかった。ここで提案する第 3 世代の連結方法の可能性が見いだされた。

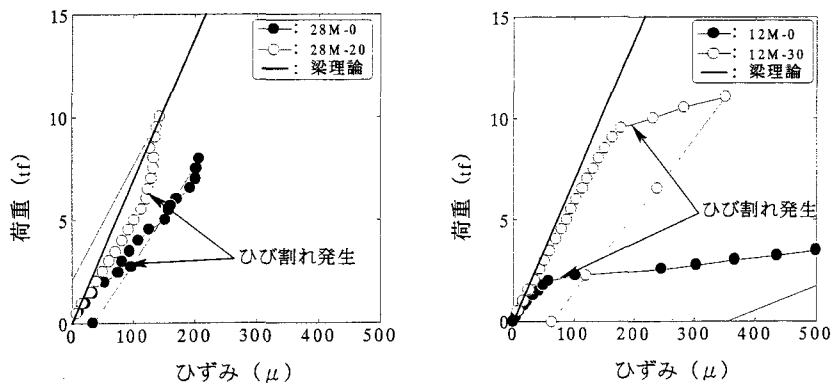


図-3 配力鉄筋の荷重-ひずみ曲線

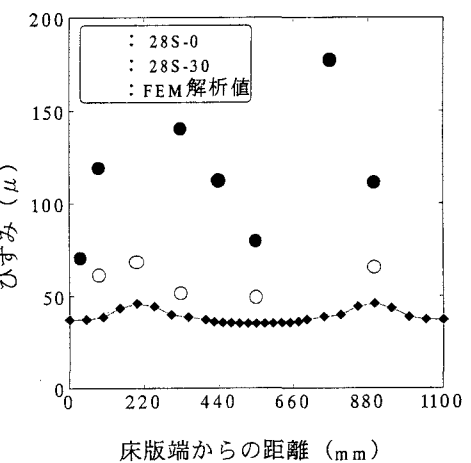


図-4 橋軸直角方向配力鉄筋のひずみ分布

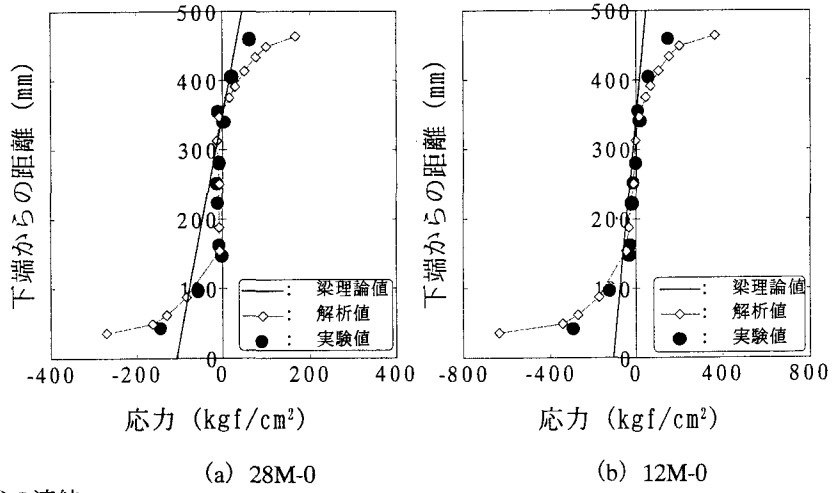


図-5 桁の応力分布